

Fig. 1

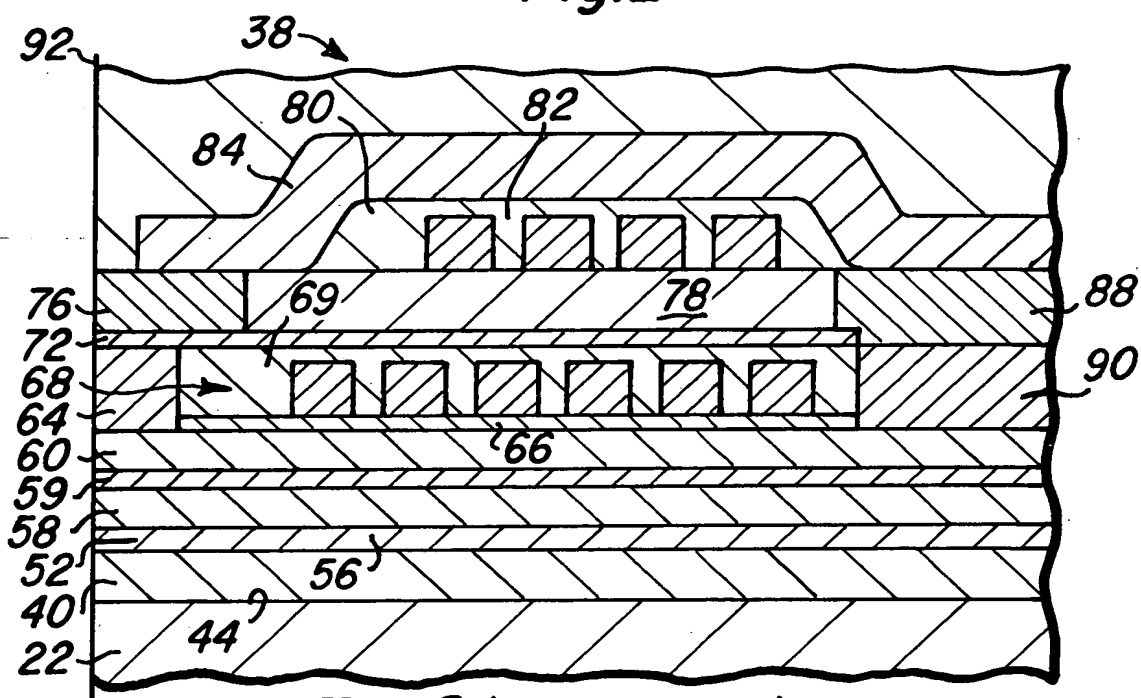


Fig. 2 (PRIOR ART)

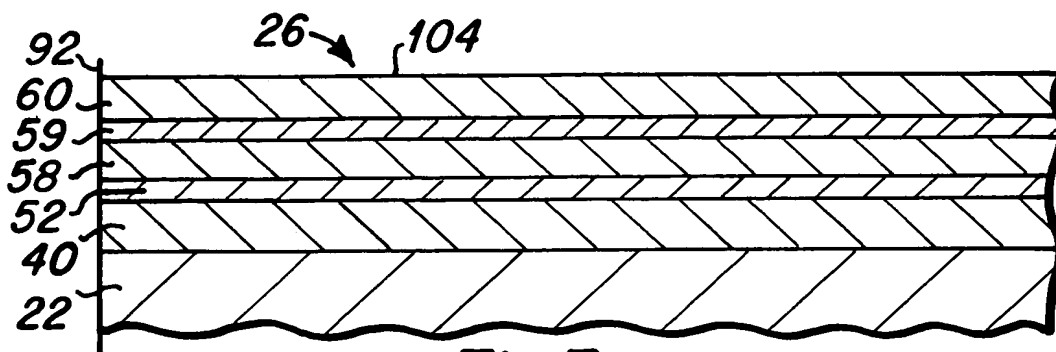


Fig. 3

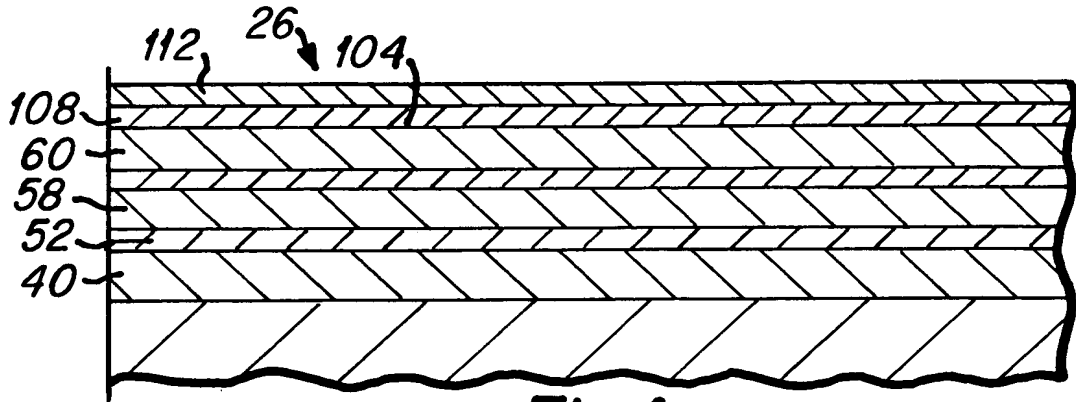


Fig.4

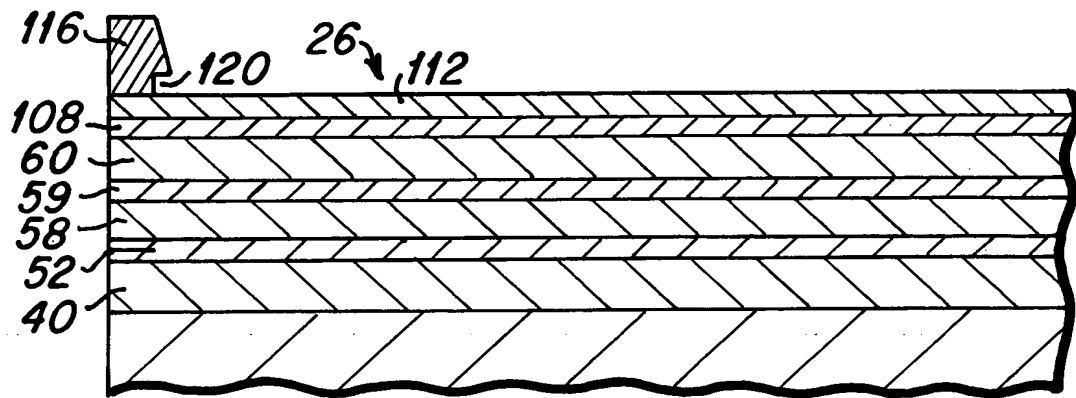


Fig.5

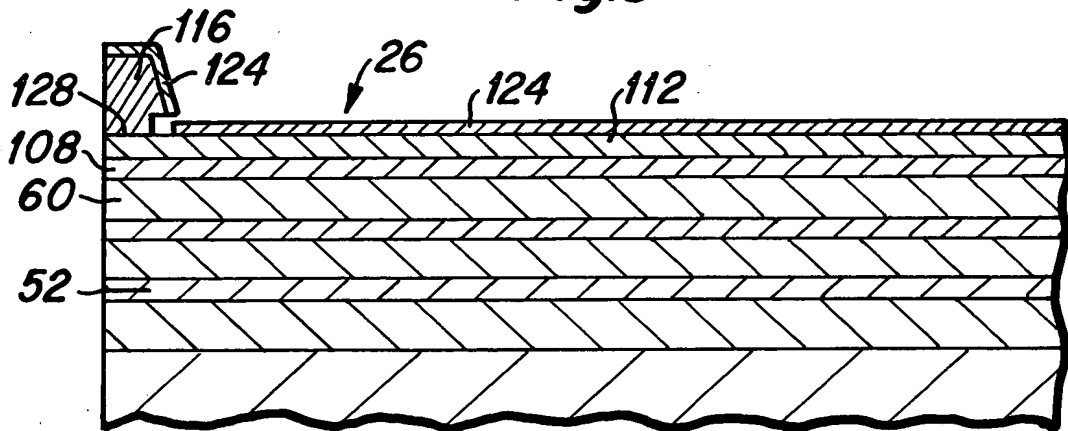


Fig.6

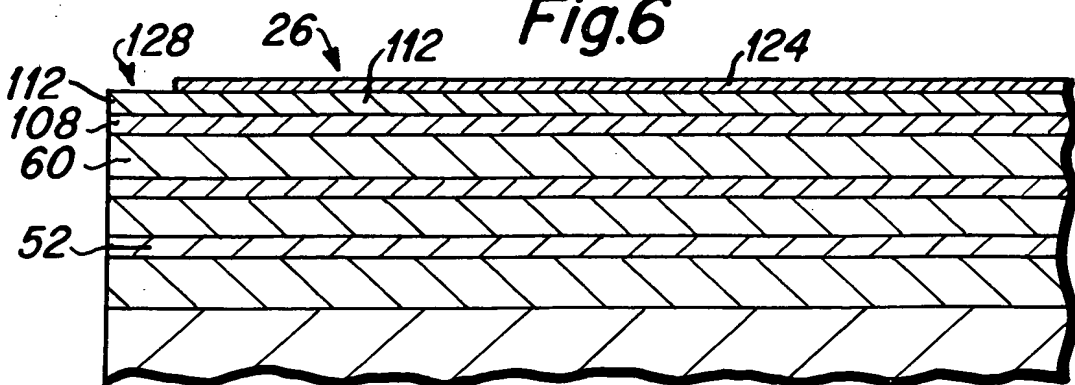


Fig.7

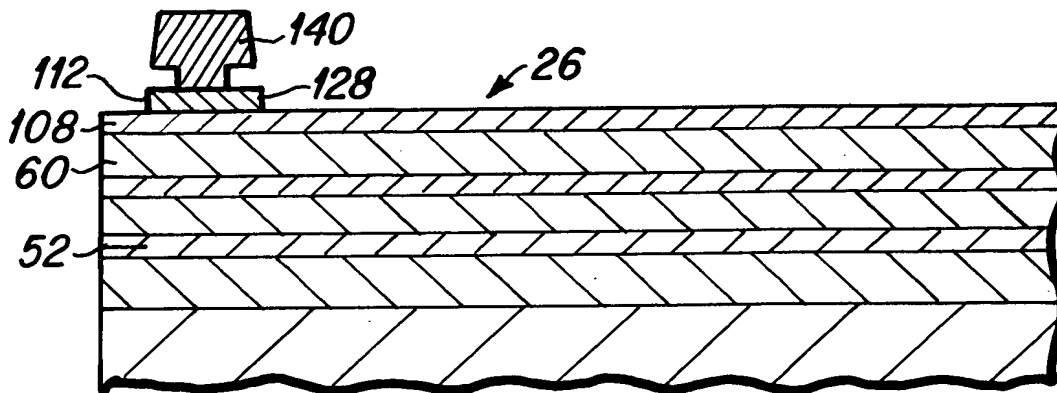


Fig. 8

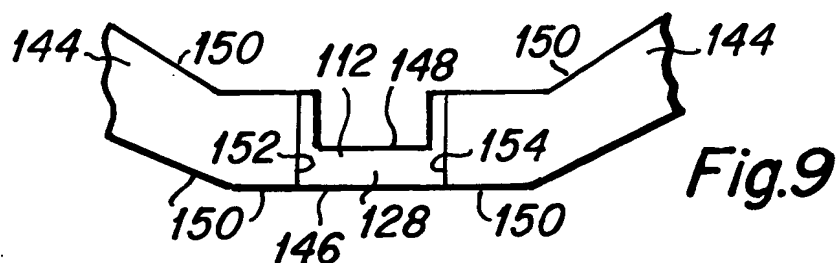


Fig. 9

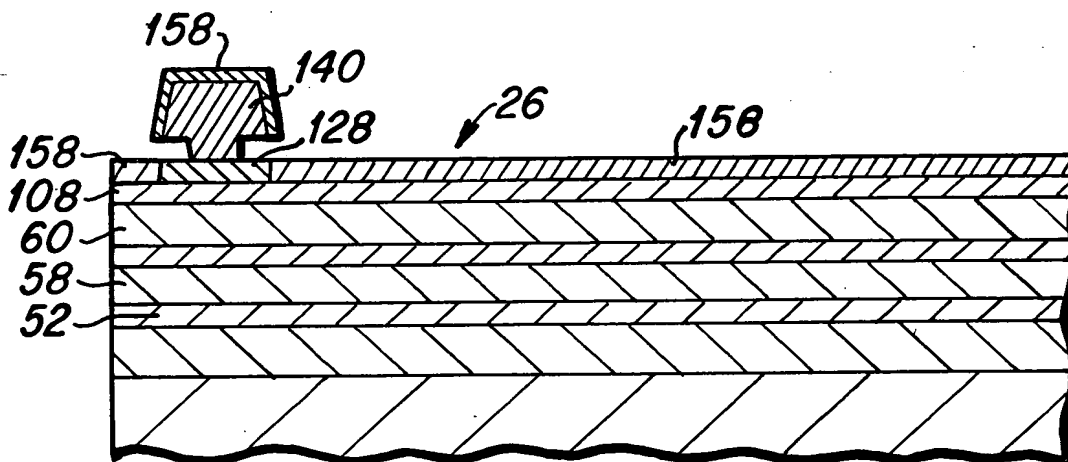


Fig. 10

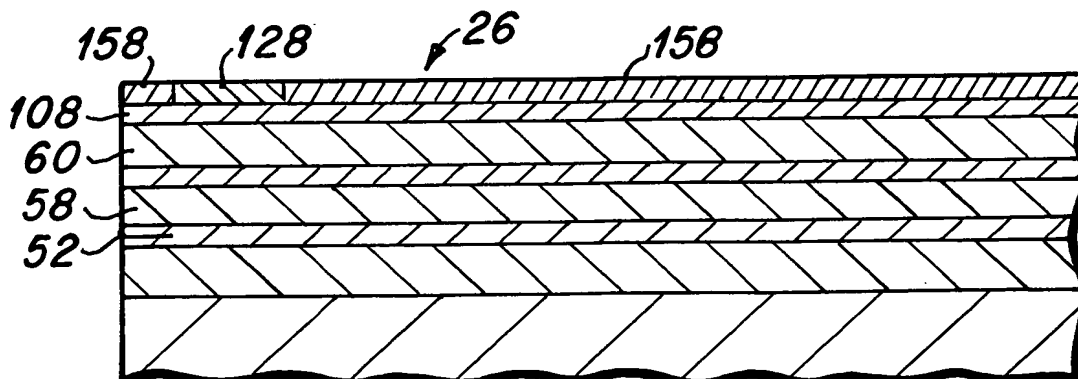


Fig. 11

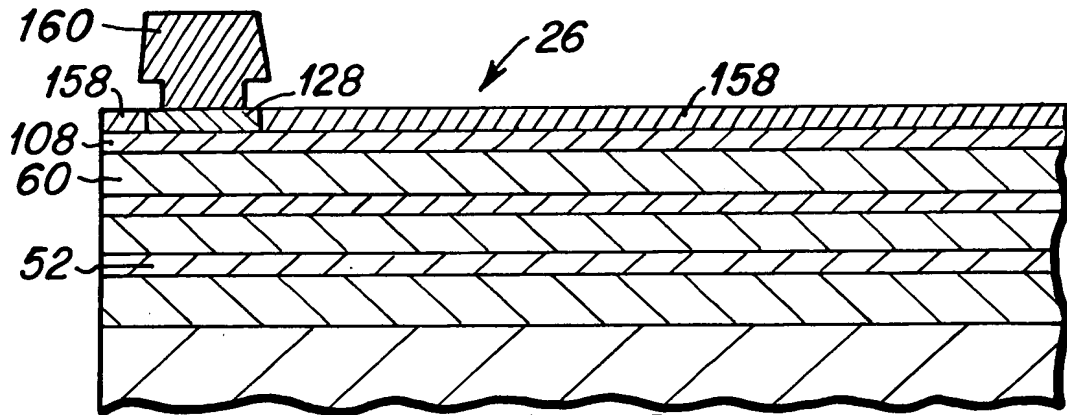


Fig.12

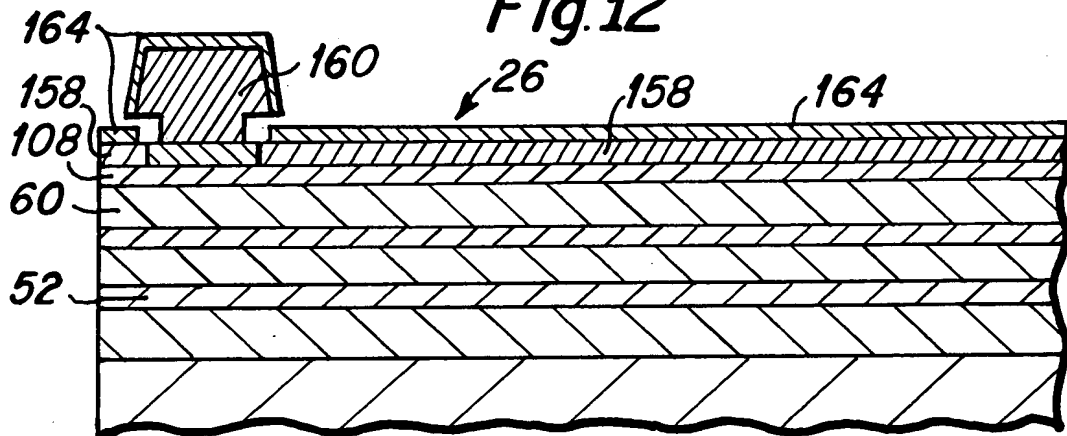


Fig.13

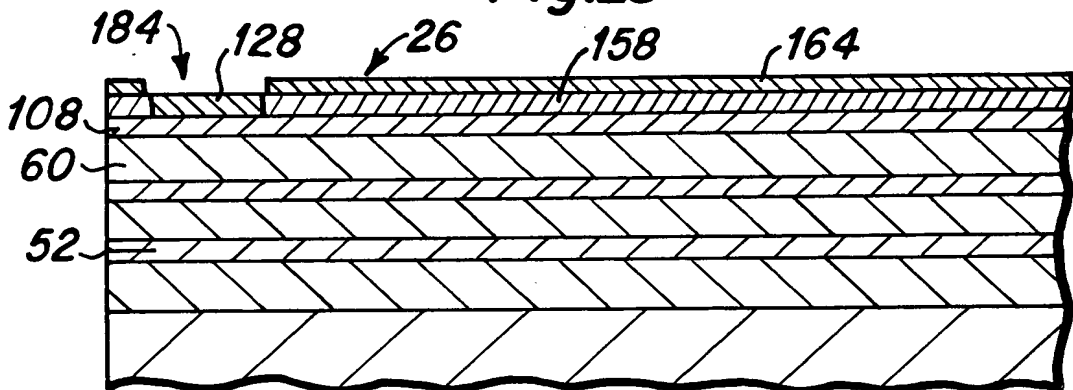


Fig.14

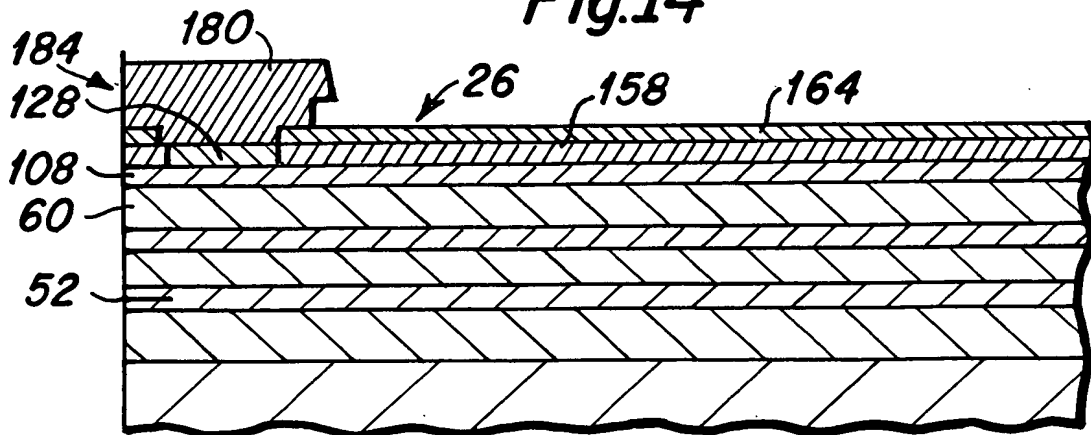


Fig.15

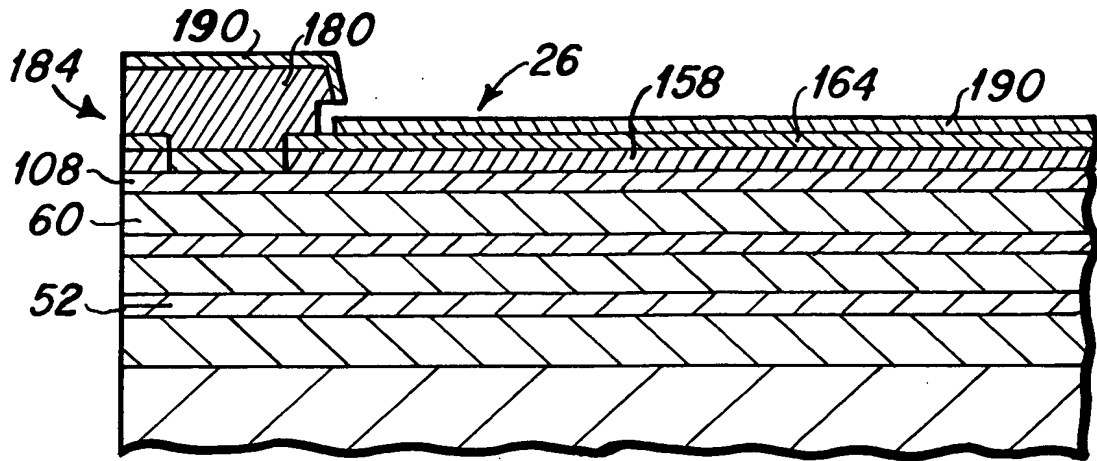


Fig.16

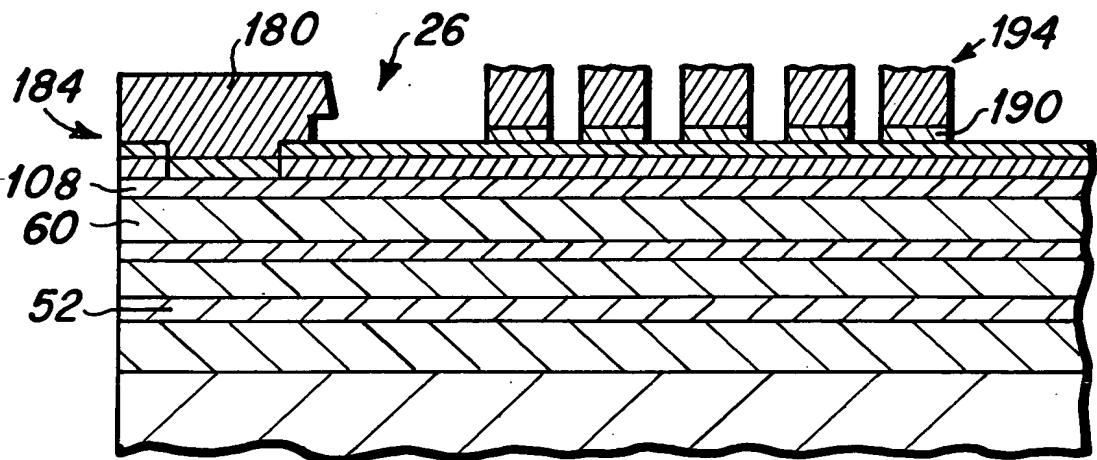


Fig.17

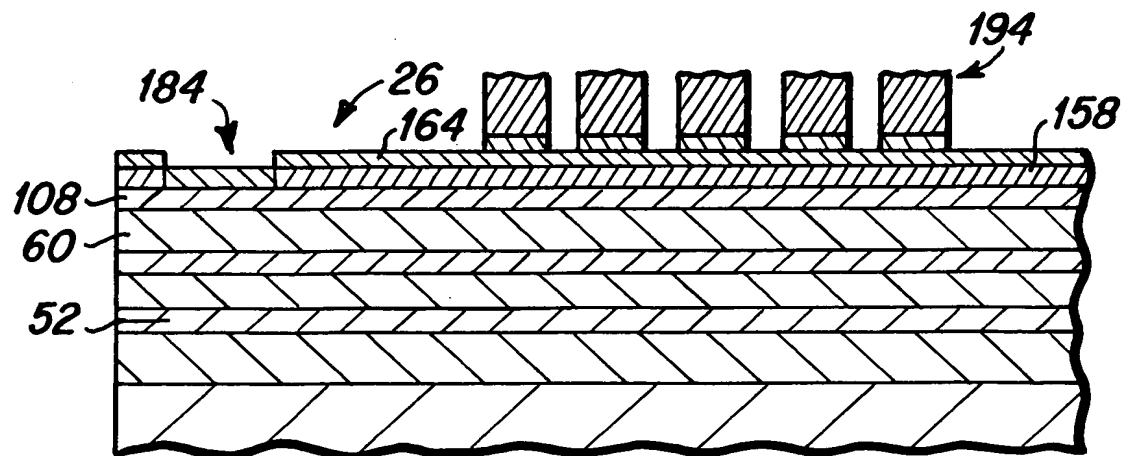


Fig.18

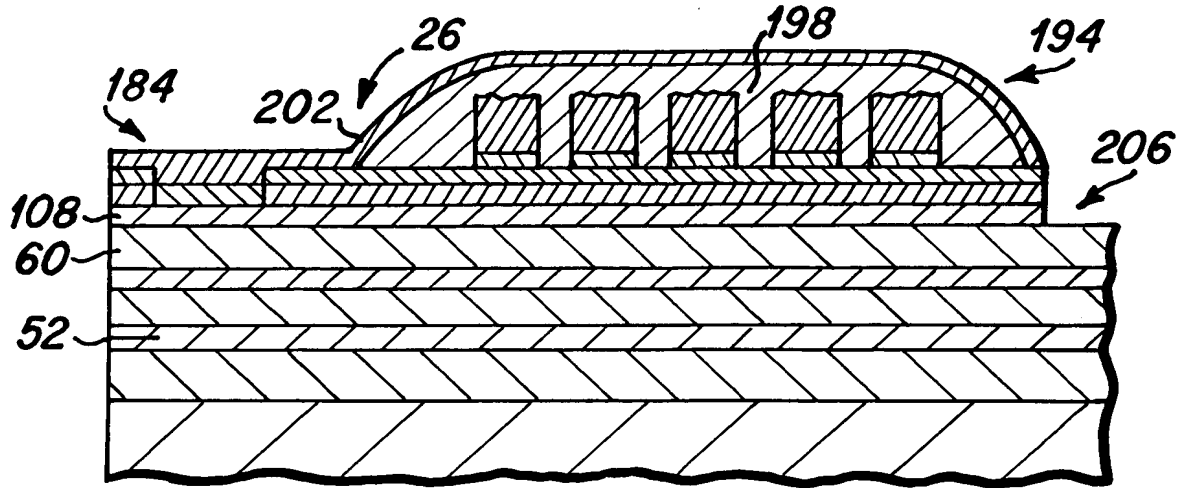


Fig.19

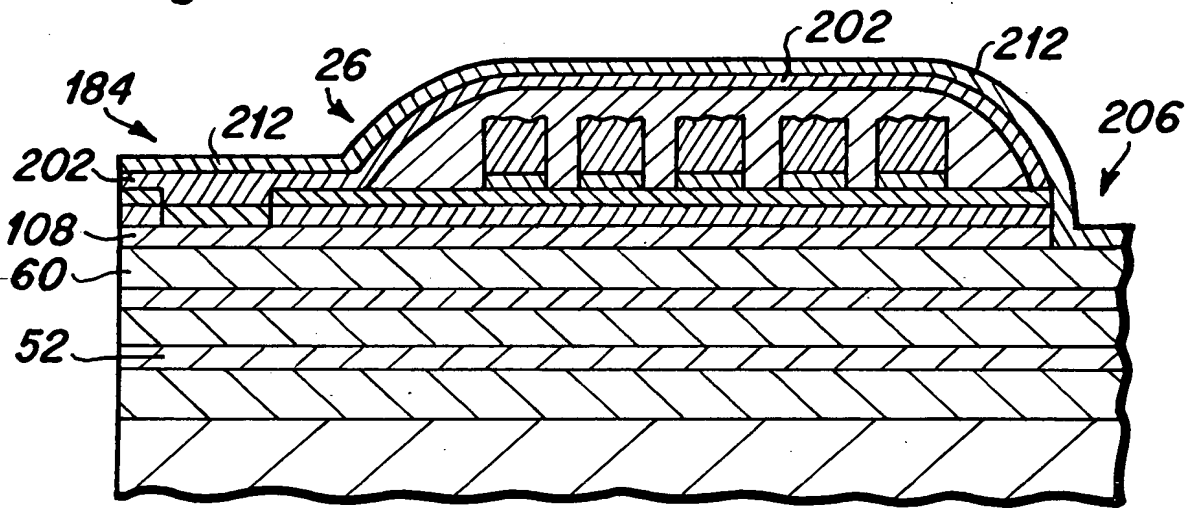


Fig.20

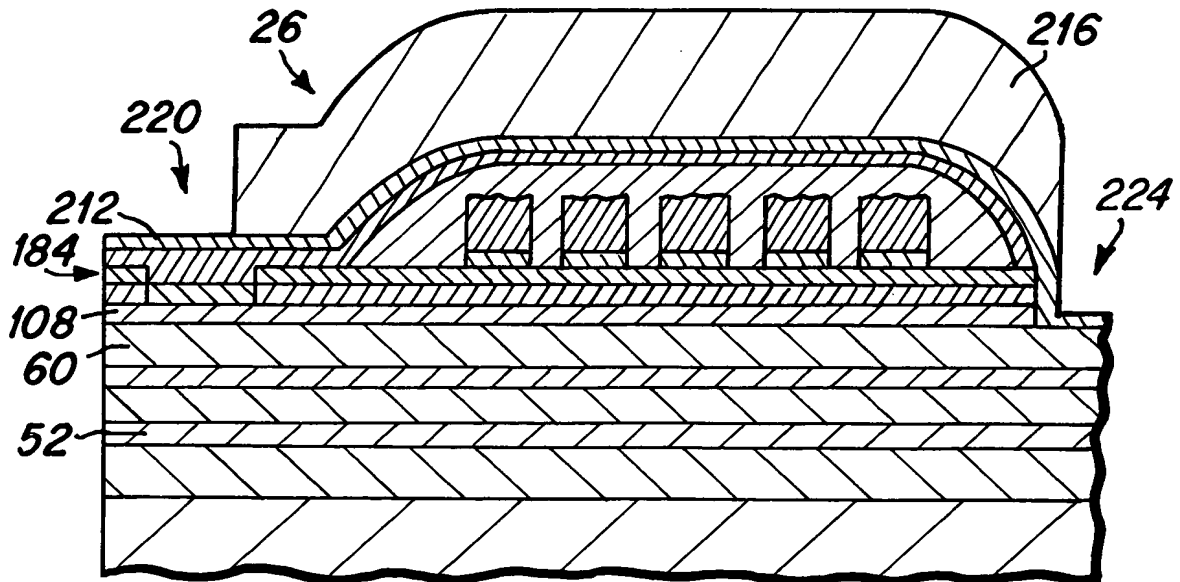
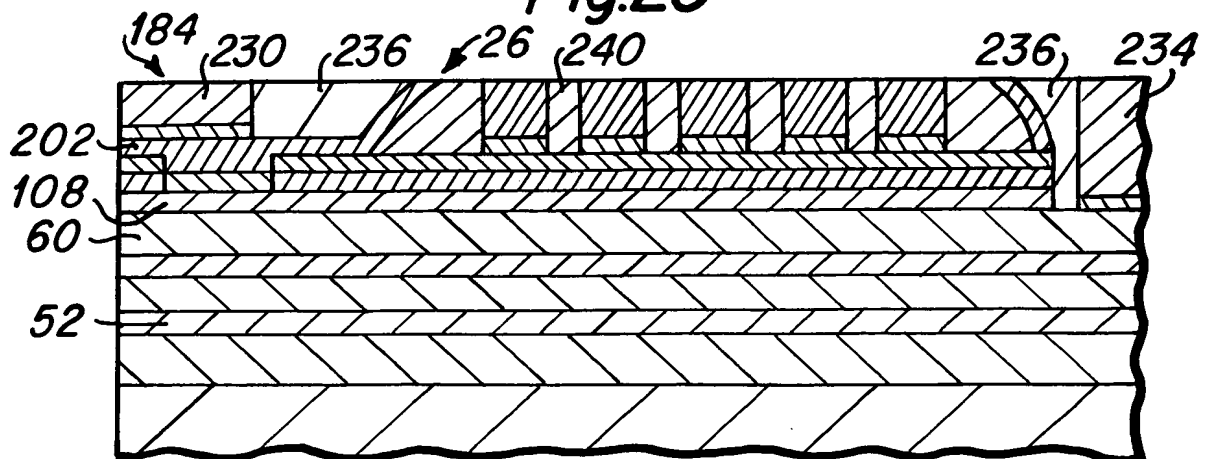


Fig.21



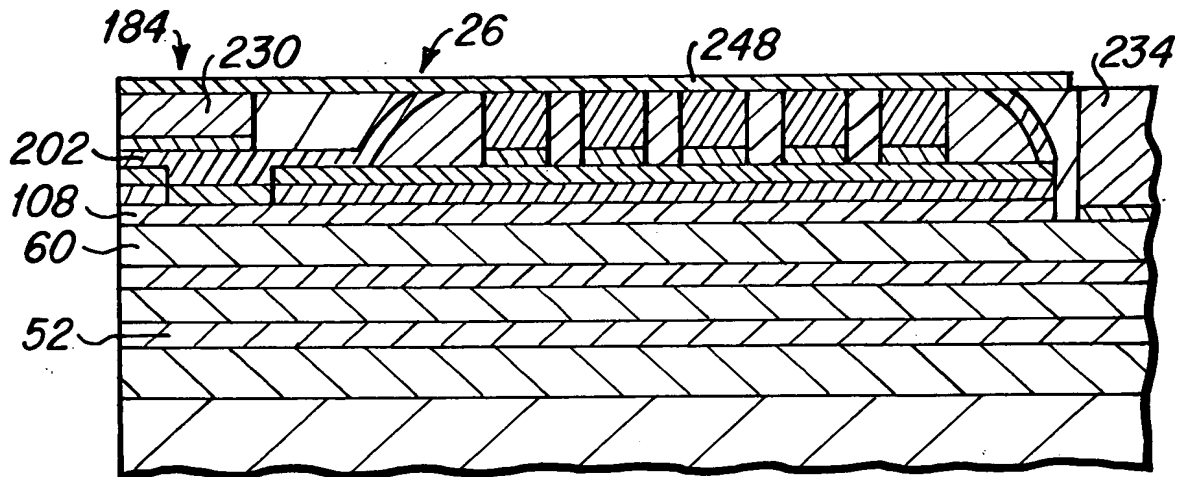


Fig.25

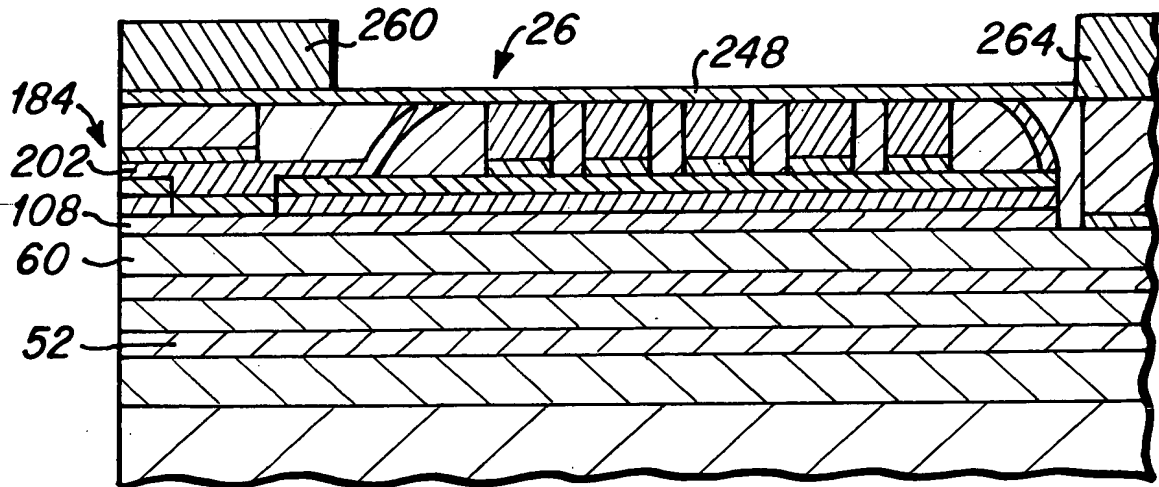


Fig.26

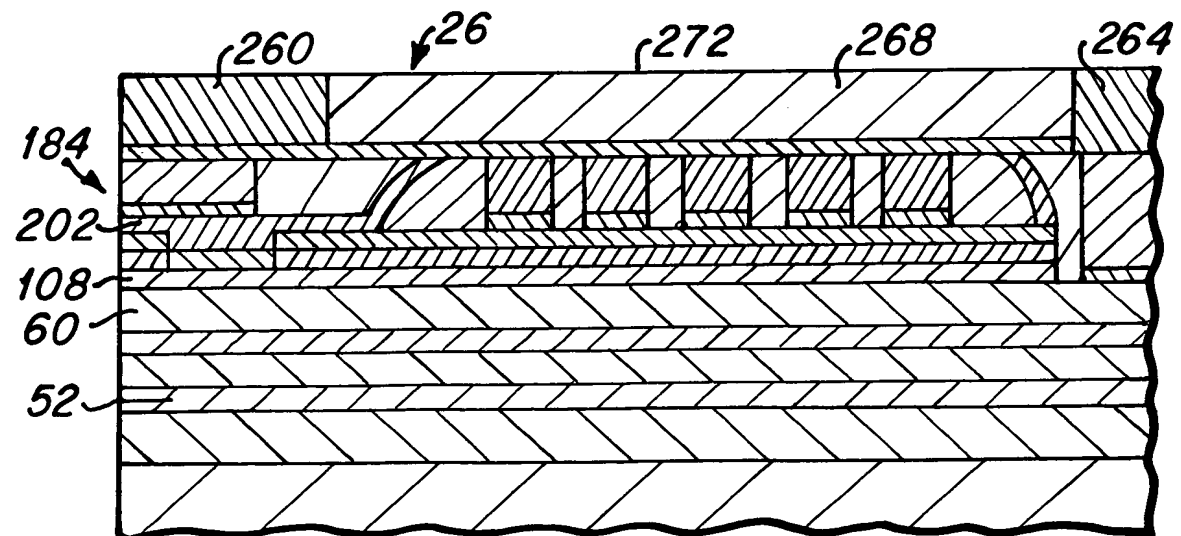


Fig.27

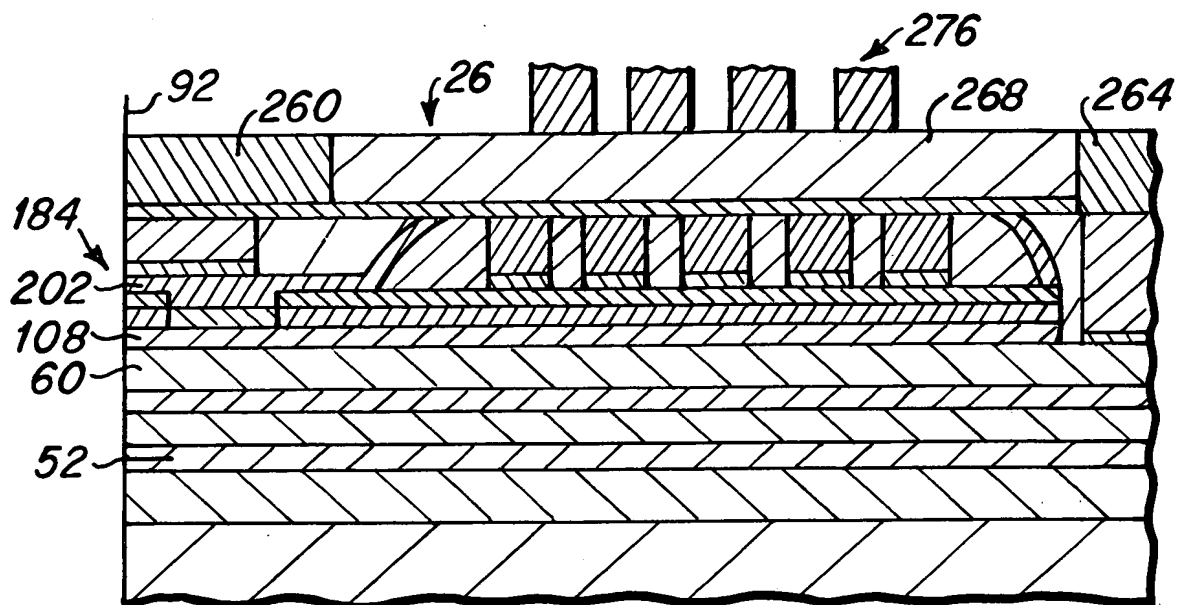


Fig.28

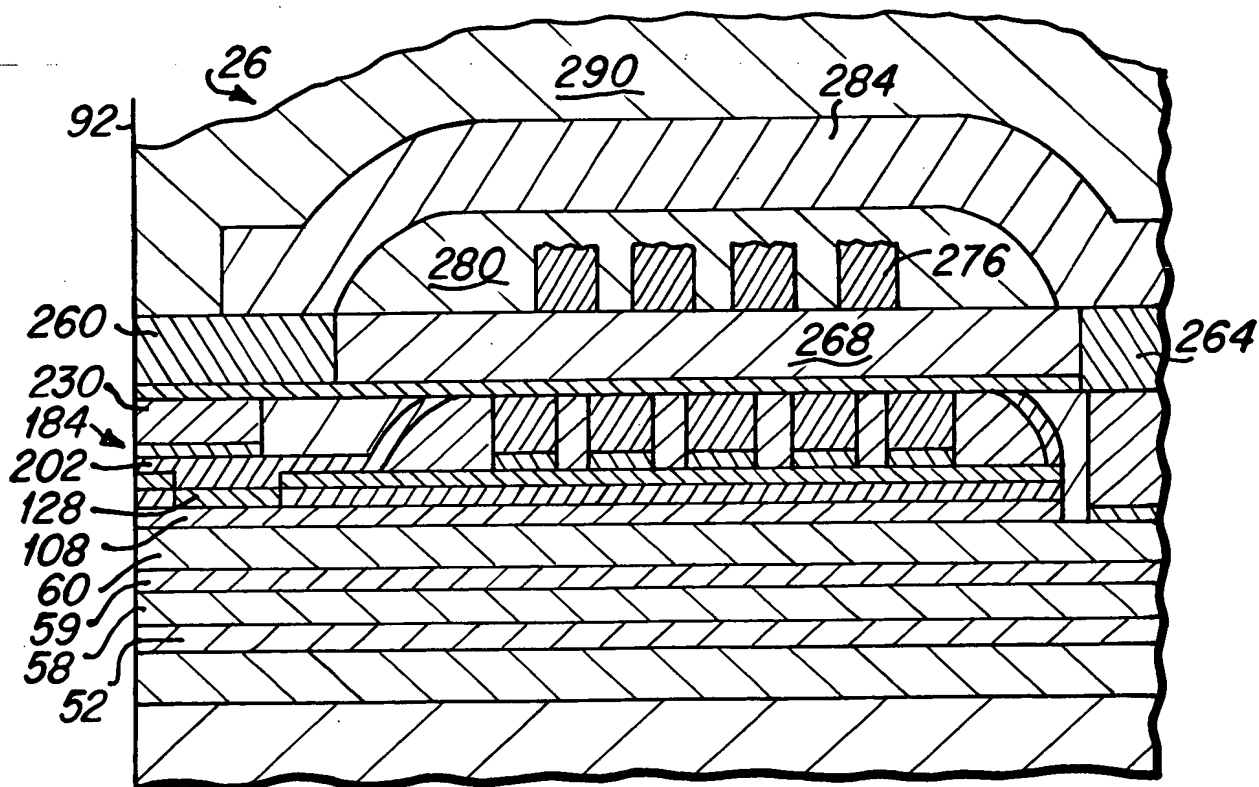


Fig.29